

Grafika komputerowa

Projekt

Łazik WALL·E

L05

Agata Osuch

Mikołaj Pałka

1. Opis projektu

Realizacja projektu składała się z sześciu etapów:

- Budowy obiektu sterowanego
- Budowy otoczenia
- Teksturowania
- Sterowania obiektem głównym
- Wykrywania kolizji
- Fabuły gry

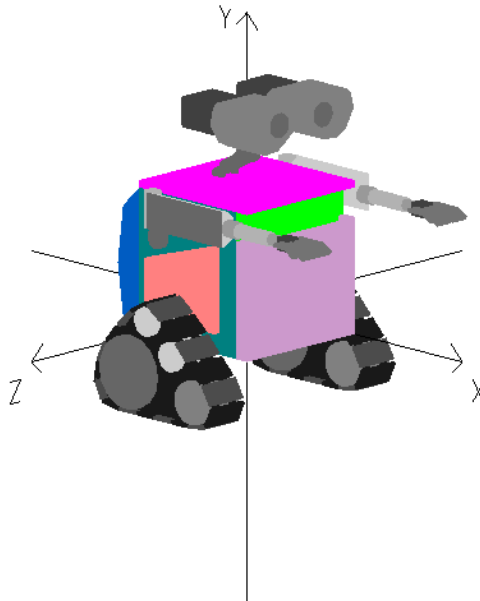
Do stworzenia projektu wykorzystaliśmy język C++ oraz biblioteki OpenGL, Assimp i stb_image. Potrzebne modele utworzyliśmy w programie Blender.

2. Budowa obiektu sterowanego

Celem pierwszych zajęć poświęconych projektowi było stworzenie łoża wykorzystując prymitywy bazujące na trójkącie. Pomimo możliwości zaimportowania modelu stworzonego w Blenderze, obiekt został stworzony przy użyciu prymitywów biblioteki OpenGL, ponieważ obiekt, na którym się wzorowaliśmy, składa się z prostych figur.



Rysunek 1. Inspiracja zespołu projektowego



Rysunek 2. Utworzony łożik

```

2402     kola();
2403     gasienica();
2404
2405     glPushMatrix();
2406     glTranslatef(14, 0, 0);
2407     kola();
2408     gasienica();
2409     glPopMatrix();
2410
2411     tyl();
2412     przod();
2413     boki();
2414     dach();
2415     podloga();
2416     szyja();
2417
2418     ramiona();
2419
2420     glPushMatrix();
2421     glTranslatef(1.25, -8, 2.5);
2422     glScalef(-1, 1, 1);
2423     glTranslatef(-8.75, 8, -2.5);
2424     ramiona();
2425     glPopMatrix();
2426
2427     glPushMatrix();
2428     glTranslatef(0,0,-9);//3 przesuniecie z powrotem na miejsce
2429     glRotatef(obr, 1.0f, 0.0f, 0.0f);//2 obrót
2430     glTranslatef(0,0,9); //1 przesuniecie na 'początek' układu
2431     brzusio();
2432     glPopMatrix();
2433
2434     glPushMatrix();
2435     glTranslatef(7.75, 15.5, -10);
2436     glRotatef(okol, 0.0f, 0.0f, 1.0f);
2437     glTranslatef(-7.75, -15.5, 10);
2438     oczko1(7.75, 15.5, -10);
2439     glPopMatrix();
2440     glPushMatrix();
2441     glTranslatef(2.25, 15.5, -10);
2442     glScalef(-1,1,1);
2443     glRotatef(okol, 0.0f, 0.0f, 1.0f);
2444     glTranslatef(-2.25, -15.5, 10);
2445     oczko1(2.25, 15.5, -10);
1522 void przod(void)
1523 {
1524     glPolygonMode(GL_FRONT_AND_BACK, GL_FILL);
1525     glColor3f(0.0f, 1.0f, 0.0f);
1526     glBegin(GL_TRIANGLE_STRIP);
1527     glVertex3f(0, 8, -9);
1528     glVertex3f(0, 10, -9);
1529     glVertex3f(10, 8, -9);
1530     glVertex3f(10, 10, -9);
1531     glEnd();
1532
1533     glBegin(GL_TRIANGLE_STRIP);
1534     glVertex3f(1.5, 8, -10);
1535     glVertex3f(1.5, 10, -10);
1536     glVertex3f(8.5, 8, -10);
1537     glVertex3f(8.5, 10, -10);
1538     glEnd();
1539
1540     glBegin(GL_TRIANGLE_STRIP);
1541     glVertex3f(1.5, 8, -10);
1542     glVertex3f(1.5, 10, -10);
1543     glVertex3f(1.5, 8, -9);
1544     glVertex3f(1.5, 10, -9);
1545     glEnd();
1546
1547     glBegin(GL_TRIANGLE_STRIP);
1548     glVertex3f(8.5, 8, -10);
1549     glVertex3f(8.5, 10, -10);
1550     glVertex3f(8.5, 8, -9);
1551     glVertex3f(8.5, 10, -9);
1552     glEnd();
1553
1554     glBegin(GL_TRIANGLE_STRIP);
1555     glVertex3f(1.5, 8, -9);
1556     glVertex3f(1.5, 8, -10);
1557     glVertex3f(8.5, 8, -9);
1558     glVertex3f(8.5, 8, -10);
1559     glEnd();
1560 }

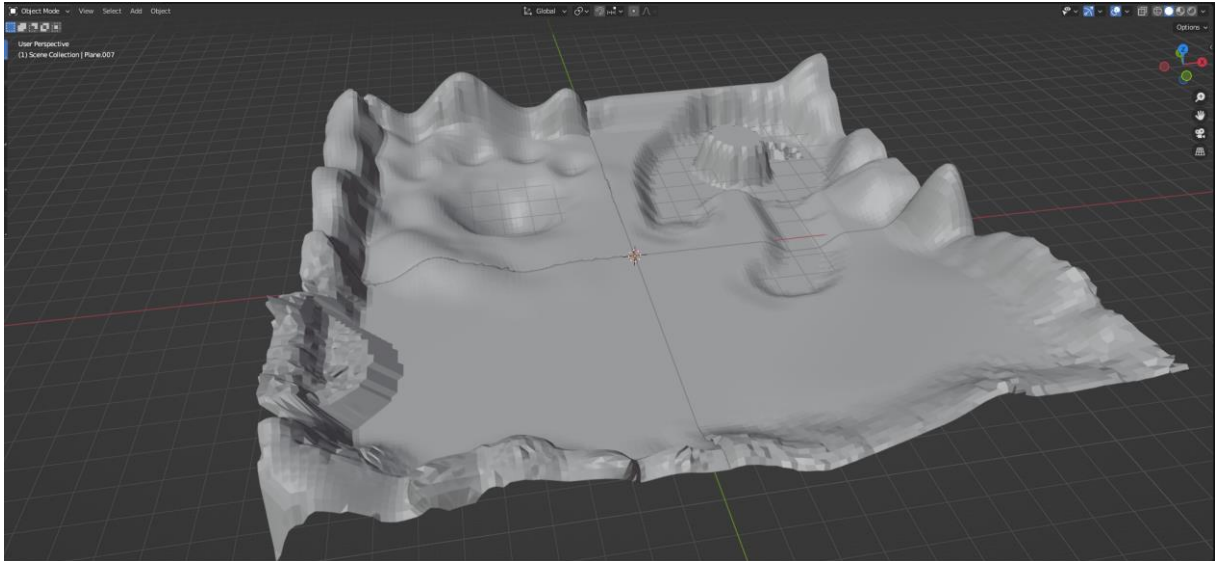
```

Rysunek 3. Funkcje tworzące łożik

W całości łożik składa się z 147 brył.

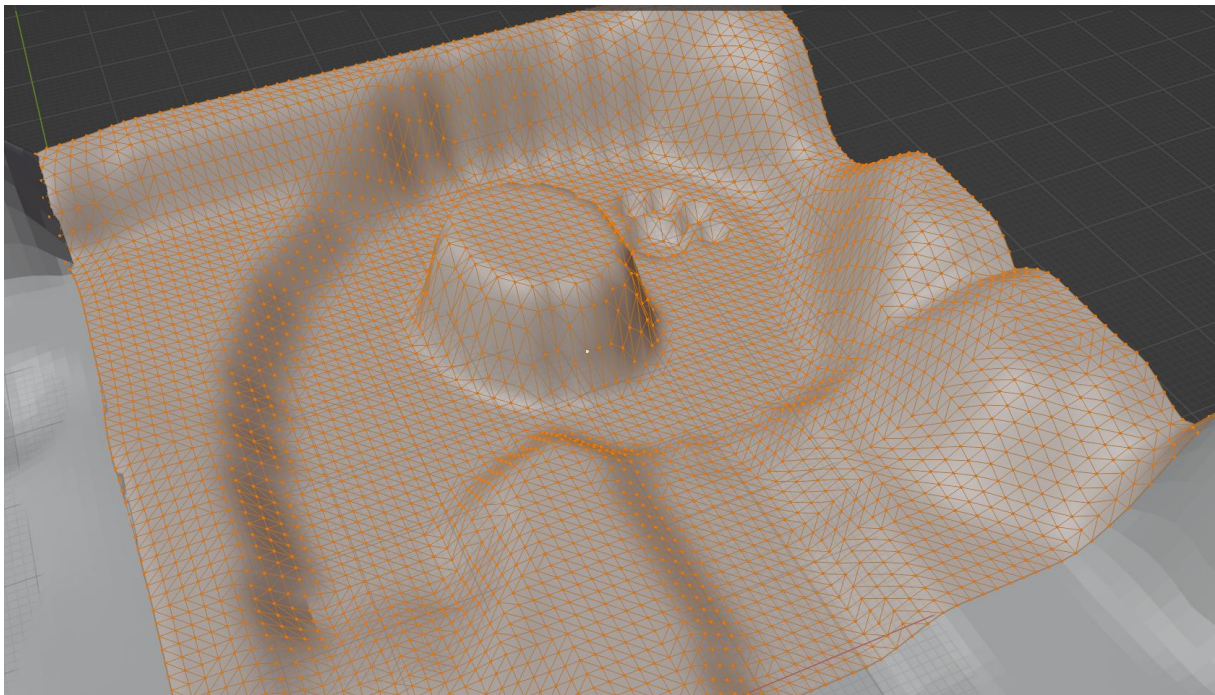
3. Budowa otoczenia

W celu stworzenia nieregularnego podłoża dla łazika zaimportowaliśmy do projektu model stworzony w Blenderze przy użyciu funkcji biblioteki Assimp.

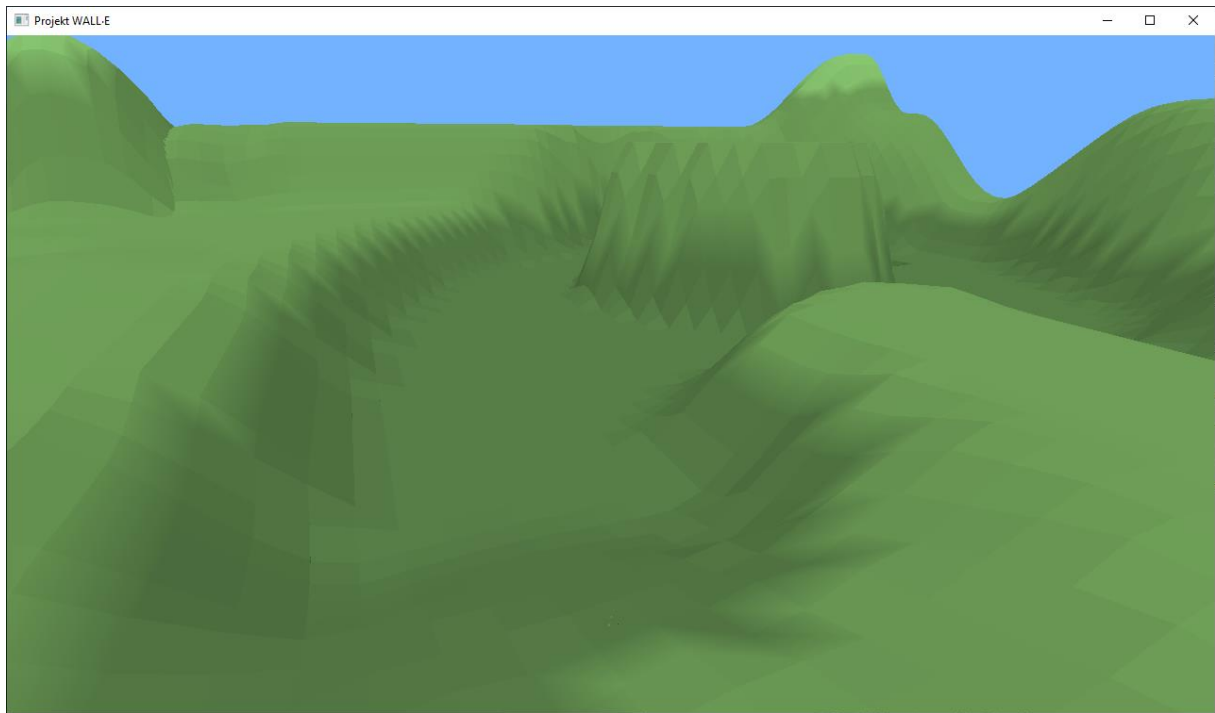


Rysunek 4. Teren modelowany w Blenderze

Podłoże składa się z czterech płaszczyzn podzielonych na wiele trójkątów. Wgłębienia oraz wzniesienia zostały utworzone poprzez zmianę wysokości poszczególnych wierzchołków. Bardzo przydatnym okazał się tryb proporcjonalnej edycji.



Rysunek 5. Jedna z czterech płaszczyzn tworzących podłoże



Rysunek 6. Zaimportowane podłoże

Stworzyliśmy i zaimportowaliśmy również model drzewa.



Rysunek 7. Drzewo modelowane w Blenderze

Podłoże zostało pokolorowane różnymi odcieniami zieleni, aby poprawić widoczność wgłębień w modelu.



Rysunek 8. Otoczenie dla łazika

Importowanie modeli zostało zrealizowane za pomocą biblioteki Assimp.

```
#include <assimp/Importer.hpp>
#include <assimp/postprocess.h>
#include <assimp/scene.h>
Assimp::Importer importer;
const aiScene* g_scene = nullptr;

bool Import3DFromFile(const std::string& pFile)
{
    g_scene = importer.ReadFile(pFile, aiProcessPreset_TargetRealtime_Quality);
    if (!g_scene)
        return false;
    return true;
}

void drawAiScene(const aiScene* scene, double skala, int teren)
{
    recursive_render(scene, scene->mRootNode, skala, teren);
}

if (!Import3DFromFile(modelpath)) void cleanup()
{
    cleanup();
    return 0;
    {
        if (g_hWnd)
            KillGLWindow();
    }
}
```



```

void recursive_render (const struct aiScene *sc, const struct aiNode* nd, float scale, int teren)
{
    unsigned int i;
    unsigned int n=0, t;
    aiMatrix4x4 m = nd->mTransformation;
    aiMatrix4x4 m2;
    aiMatrix4x4::Scaling(aiVector3D(scale, scale, scale), m2);
    m = m * m2;
    m.Transpose();
    glPushMatrix();
    glMultMatrixf((float*)&m);
    for (; n < nd->mNumMeshes; ++n)
    {
        const struct aiMesh* mesh = sc->mMeshes[nd->mMeshes[n]];
        for (t = 0; t < mesh->mNumFaces; ++t)
        {
            const struct aiFace* face = &mesh->mFaces[t];
            GLenum face_mode;
            switch(face->mNumIndices)
            {
                case 1: face_mode = GL_POINTS; break;
                case 2: face_mode = GL_LINES; break;
                case 3: face_mode = GL_TRIANGLES; break;
                default: face_mode = GL_POLYGON; break;
            }
            glBegin(face_mode);
            for(i = 0; i < face->mNumIndices; i++)
            {
                int vertexIndex = face->mIndices[i];
                if(mesh->HasTextureCoords(0))
                    glTexCoord2f(mesh->mTextureCoords[0][vertexIndex].x, 1 - mesh->mTextureCoords[0][vertexIndex].y);
                glNormal3fv(&mesh->mNormals[vertexIndex].x);
                if (mesh->mVertices[vertexIndex].y > 15.0f && teren)
                    glColor4f(0.42, 0.61, 0.345, 1.0f);
                else if ((mesh->mVertices[vertexIndex].y < 15.0f && mesh->mVertices[vertexIndex].y > -2.0f) && teren)
                    glColor4f(0.34, 0.49, 0.27, 1.0f);
                else if ( mesh->mVertices[vertexIndex].y < -2.0f && teren)
                    glColor4f(0.27, 0.39, 0.22, 1.0f);
                glVertex3fv(&mesh->mVertices[vertexIndex].x);
            }
            glEnd();
        }
        for (n = 0; n < nd->mNumChildren; ++n)
            recursive_render(sc, nd->mChildren[n], scale, teren);

        glPopMatrix();
    }
}

```

Funkcja recursive_render rekurencyjnie przechodzi przez plik .obj i tworzy odpowiednie typy prymitywów na podstawie zawartości pliku. Jest tu także zrealizowane kolorowanie powierzchni terenu w zależności od wysokości wierzchołków.

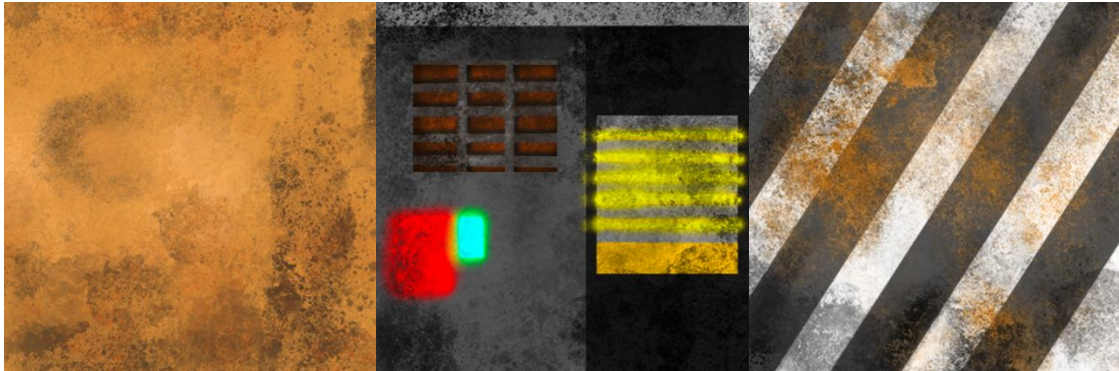
```

mapapg2.obj - Notepad
File Edit Format View Help
# Blender v2.81 (sub 16) OBJ File: ''
# www.blender.org
mtllib mapapg2.mtl
o Plane.001_Plane
v -1.562500 10.120520 -98.437500
v 0.000000 8.020607 -98.437500
v 0.000000 7.222905 -100.000000
v -1.562500 8.746125 -100.000000
v -51.562500 24.833443 -98.437485
v -50.000000 25.365137 -98.437485
v -50.000000 24.490658 -99.999985
v -51.562500 23.991503 -99.999985
v -52.365868 -6.168974 -47.718922
v -50.822842 -7.213291 -47.571819
v -50.869637 -6.425944 -49.616474
v -52.364040 -5.494374 -49.646557
v -1.396194 0.881407 -48.947964
.. 0 167760 0 867641 18 037006

```

4. Teksturowanie

W celu poprawienia wyglądu utworzonych obiektów nałożyliśmy na nie tekstury. Tekstury łazika zostały namalowane w programie Procreate.



Rysunek 9. Tekstury łazika – ściany, przedni panel, ramiona

Tekstury otoczenia zostały wzięte z Internetu.



Rysunek 10. Tekstury otoczenia – drzewa, liście, woda, trawa

Do wczytywania tekstur użyto gotowej funkcji podanej w przykładowym projekcie „sześcian”.

```
#define BITMAP_ID 0x4D42
// Opis tekstury
BITMAPINFOHEADER bitmapInfoHeader; // nagłówek obrazu
unsigned char* bitmapData; // dane tekstury
unsigned int texture[10]; // obiekt tekstury

glGenTextures(10, &texture[0]); // tworzy obiekt tekstury

// ładuje pierwszy obraz tekstury:
bitmapData = LoadBitmapFile("Bok.bmp", &bitmapInfoHeader);

glBindTexture(GL_TEXTURE_2D, texture[0]); // aktywuje obiekt tekstury

glTexParameteri(GL_TEXTURE_2D, GL_TEXTURE_MAG_FILTER, GL_NEAREST);
glTexParameteri(GL_TEXTURE_2D, GL_TEXTURE_MIN_FILTER, GL_NEAREST);

glTexParameteri(GL_TEXTURE_2D, GL_TEXTURE_WRAP_S, GL_CLAMP);
glTexParameteri(GL_TEXTURE_2D, GL_TEXTURE_WRAP_T, GL_CLAMP);

// tworzy obraz tekstury
glTexImage2D(GL_TEXTURE_2D, 0, GL_RGB, bitmapInfoHeader.biWidth,
            bitmapInfoHeader.biHeight, 0, GL_RGB, GL_UNSIGNED_BYTE, bitmapData);

if (bitmapData)
    free(bitmapData);

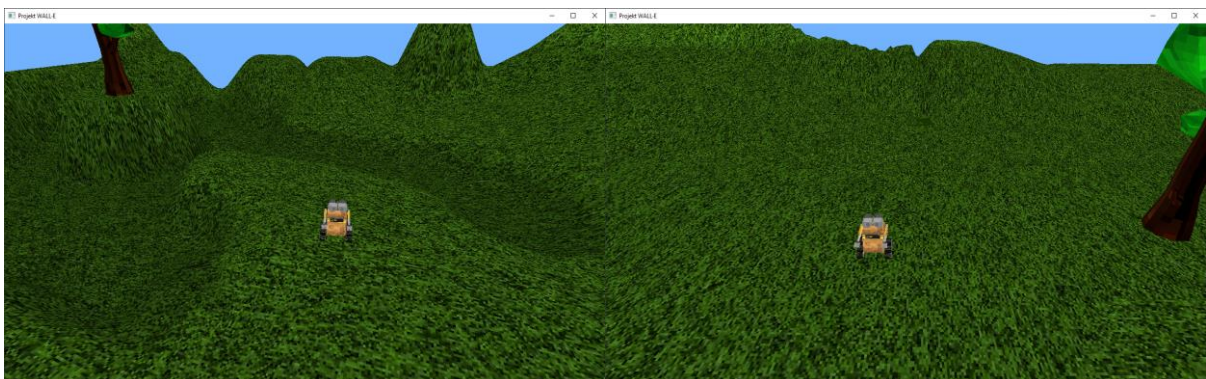
glEnable(GL_TEXTURE_2D);
glBindTexture(GL_TEXTURE_2D, texture[7]);
glColor3f(1,1,1);
glBegin(GL_TRIANGLE_STRIP);
glNormal3f(0.0f, 0.0f, -1.0f);
glTexCoord2d(0.0, 0.0); glVertex3f(1.5, 8, -10);
glTexCoord2d(0.0, 1.0); glVertex3f(1.5, 10, -10);
glTexCoord2d(2, 0.0); glVertex3f(8.5, 8, -10);
glTexCoord2d(2, 1.0); glVertex3f(8.5, 10, -10);
glEnd();
glDisable(GL_TEXTURE_2D);
```



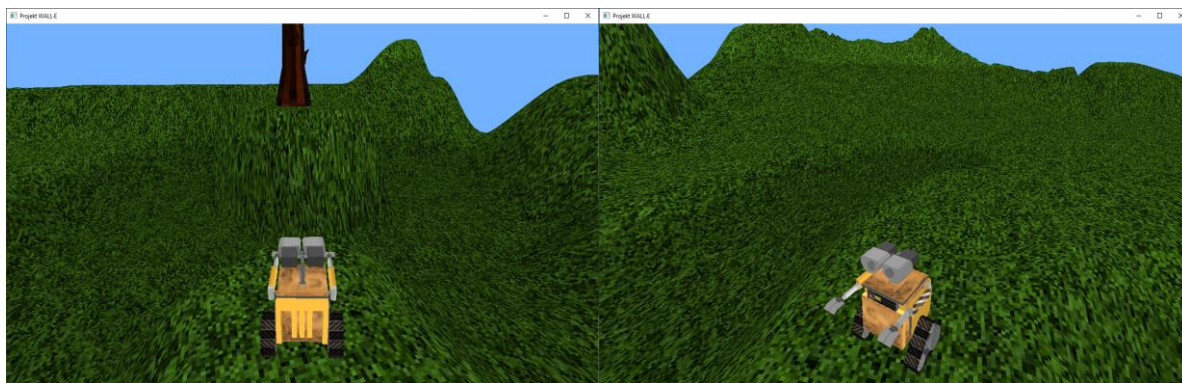

Rysunek 11. Obiekty z nałożonymi teksturami

W ramach tego etapu zrealizowane zostało także sterowanie kamerą. Za pomocą funkcji `gluLookAt` stworzyliśmy kamerę podążającą za łożyskiem na odległości 50 jednostek. Dodaliśmy również kamerę zawieszoną 100 jednostek nad środkiem podłoża. Obydwa kamerami można obracać w lewo i prawo za pomocą strzałek.

```
if (kamera)
{
    glRotatef(30, 1.0f, 0.0f, 0.0f);
    glRotatef(yRot, 0.0f, 1.0f, 0.0f);
    glTranslatef(0, -100, 0);
}
else
    gluLookAt(50 * sin(-yRot / 20.0f) + Xpos, 50 + Ypos, 50 * cos(-yRot / 20.0f) + Zpos, Xpos, Ypos + 30, Zpos, 0, 1, 0);
```



Rysunek 12. Kamera zawieszona nad środkiem obszaru gry



Rysunek 13. Kamera podążająca za łożyskiem

5. Sterowanie obiektem głównym

Poruszanie się łożyska zrealizowaliśmy za pomocą funkcji `glTranslatef`, `glRotatef`, `glPushMatrix` i `glPopMatrix`. Pozycja łożyska przechowywana jest w zmiennych `Xpos`, `Ypos`, `Zpos`. Obrót łożyska wokół własnej osi przy użyciu `glRotatef` wymaga, aby był on wyśrodkowany. Obiekt jest najpierw przesuwany o -5 jednostek w osi X i 5 jednostek w osi Z. Następnie jest obracany o kąt ustalany za pomocą klawiszy klawiatury numerycznej. Na koniec jest przesuwany na pozycję określoną przez zmienne.

```
glTranslatef(Xpos, Ypos, Zpos);
glRotatef(kat, 0, 1, 0);
glRotatef(pochylenie, 1, 0, 0);
glTranslatef(-5, 0, 5);
```

```
if (keys[VK_NUMPAD8])
{
    if(pochylenie < 1)
        pochylenie += 0.125f;
    if (predkosc < 1.3)
        predkosc += 0.1;
    obrotSrubek += predkosc * 10;
    if (!kolizja(-predkosc * sin(kat * GL_PI / 180.0f), -predkosc * cos(kat * GL_PI / 180.0f)))
    {
        Xpos += -predkosc * sin(kat * GL_PI / 180.0f);
        Zpos += -predkosc * cos(kat * GL_PI / 180.0f);
    }
    kolorGasienicy += 0.2f;
    if (kolorGasienicy > 0.2f)
        kolorGasienicy = 0.0f;
}

if (keys[VK_NUMPAD5])
{
    obrotSrubek -= 0.25 * 10;
    if (!kolizja(0.25 * sin(kat * GL_PI / 180.0f), 0.25 * cos(kat * GL_PI / 180.0f)))
    {
        Xpos -= -0.25 * sin(kat * GL_PI / 180.0f);
        Zpos -= -0.25 * cos(kat * GL_PI / 180.0f);
    }
}

if (keys[VK_NUMPAD4])
{
    obrotSrubek += 5;
    kat += 1;
    if (!keys[VK_NUMPAD8] && !keys[VK_NUMPAD5])
    {
        kolorGasienicy += 0.2f;
        if (kolorGasienicy > 0.2f)
            kolorGasienicy = 0.0f;
    }
}

if (keys[VK_NUMPAD6])
{
    obrotSrubek -= 5;
    kat -= 1;
    if (!keys[VK_NUMPAD8] && !keys[VK_NUMPAD5])
    {
        kolorGasienicy += 0.2f;
        if (kolorGasienicy > 0.2f)
            kolorGasienicy = 0.0f;
    }
}
```


Poprzez przytrzymanie klawisza numpad8 zwiększa się prędkość łoża. Następnie dzięki funkcjom sinus i cosinus obliczana jest nowa pozycja X oraz Z obiektu. W celu wizualnego polepszenia ruchu łoża zmienia się także prędkość śrubek na kołach, kolor gąsienic i przechylenie łoża. Klawisze numpad4 i numpad6 odpowiedzialne są za obrót łoża wokół jego osi. Numpad5 sprawia, że łożo powoli jedzie do tyłu.

```
case WM_TIMER:
{
    switch (wParam)
    case 1:
    {
        if (!keys[VK_NUMPAD8] && predkosc > 0.0f)
        {
            predkosc -= 0.1;
            obrotSrubek += predkosc * 10;
            if (!kolizja(-predkosc * sin(kat * GL_PI / 180.0f), -predkosc * cos(kat * GL_PI / 180.0f)))
            {
                Xpos += -predkosc * sin(kat * GL_PI / 180.0f);
                Zpos += -predkosc * cos(kat * GL_PI / 180.0f);
            }

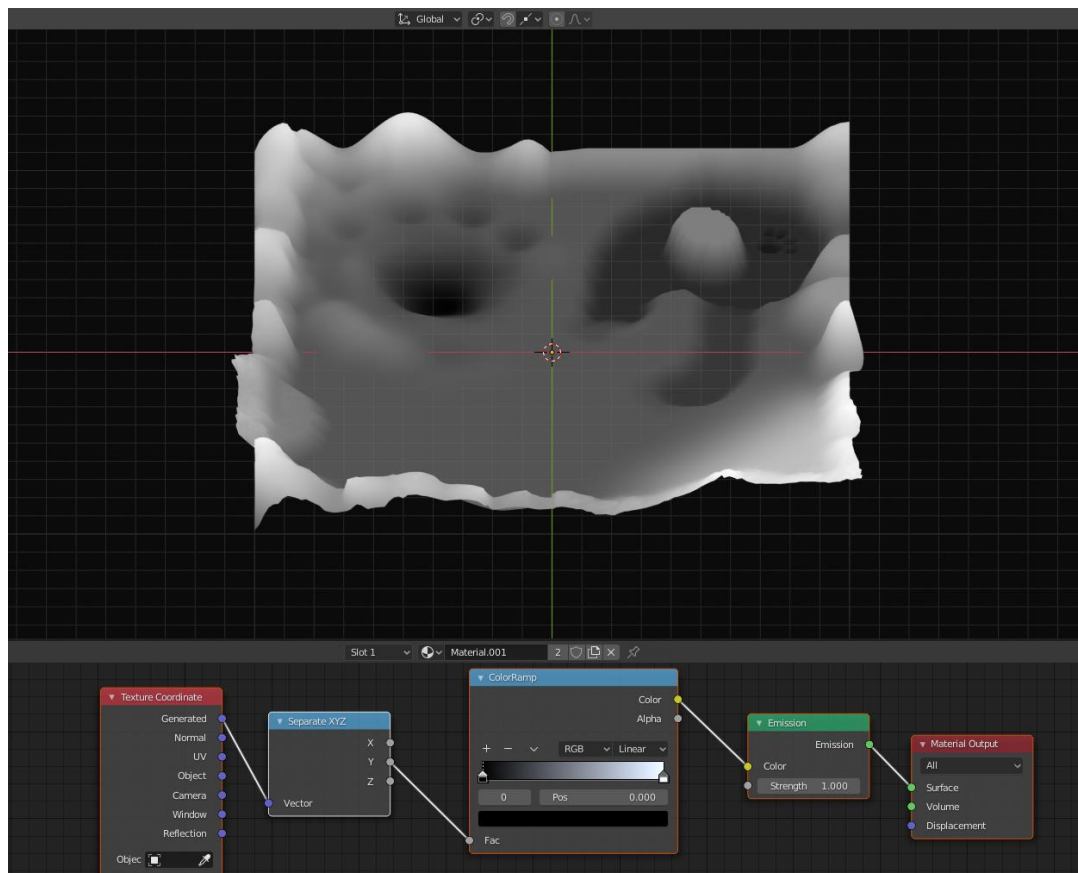
            kolorGasienicy += 0.2f;
            if (kolorGasienicy > 0.2f)
                kolorGasienicy = 0.0f;
            pochylenie -= 0.125f;
        }
        else
            if (pochylenie < 0)
                pochylenie += 0.125f;
    }
}
```

Za pomocą funkcji SetTimer ustawiliśmy wywoływanie się fragmentu kodu po upływie kilkunastu milisekund. Jest on odpowiedzialny za zmniejszenie prędkości łoża kiedy gracz puści klawisz poruszania się do przodu. Dzięki temu łożo nie zatrzymuje się w chwili puszczenia klawisza, lecz dopiero po krótkiej chwili ponieważ zachowuje swój pęd.

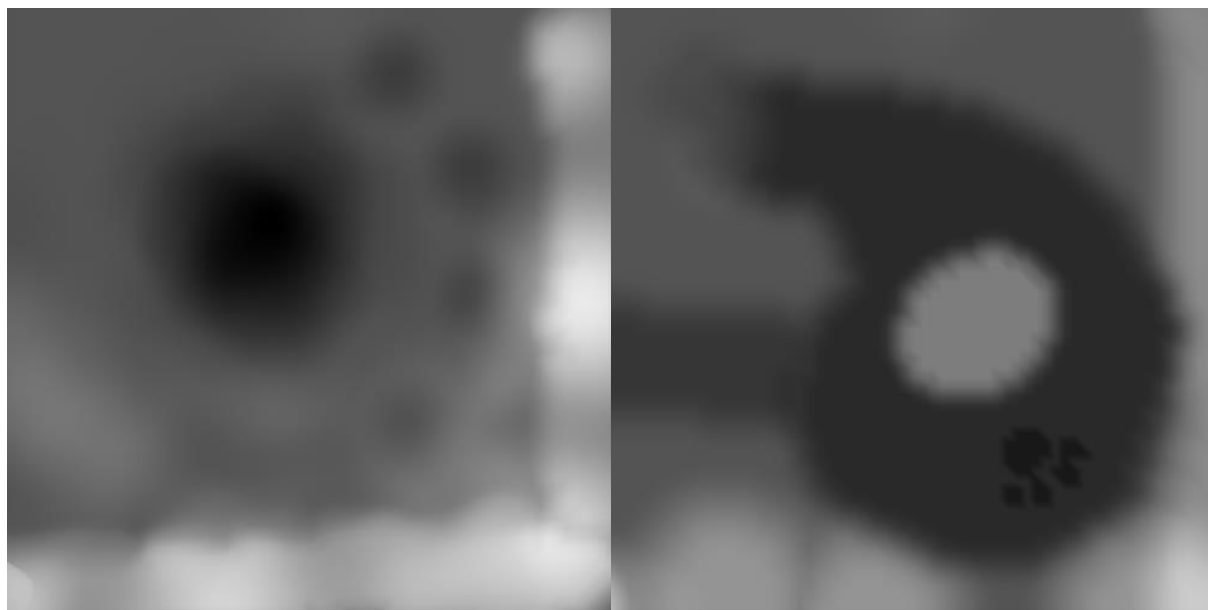


Rysunek 14. Ruch łoża po podłożu

Zmianę pozycji łazika w osi Y wykonaliśmy za pomocą map wysokości stworzonego wcześniej podłoża. Na model terenu nałożyliśmy materiał, który dzięki węzłom koloruje model na biało i czarno w zależności od wysokości powierzchni. Następnie za pomocą ortogonalnej kamery położonej nad podłożem wykonaliśmy cztery zdjęcia o rozmiarze 500x500 pikseli, które w projekcie są wczytywane przy użyciu biblioteki `stb_image`.



Rysunek 15. Mapa wysokości w Blenderze



Rysunek 16. Dwie z czterech części mapy wysokości podłoża

```

#define STB_IMAGE_IMPLEMENTATION
#include "contrib/stb/stb_image.h"

float wys1[500][500];
float wys2[500][500];
float wys3[500][500];
float wys4[500][500];

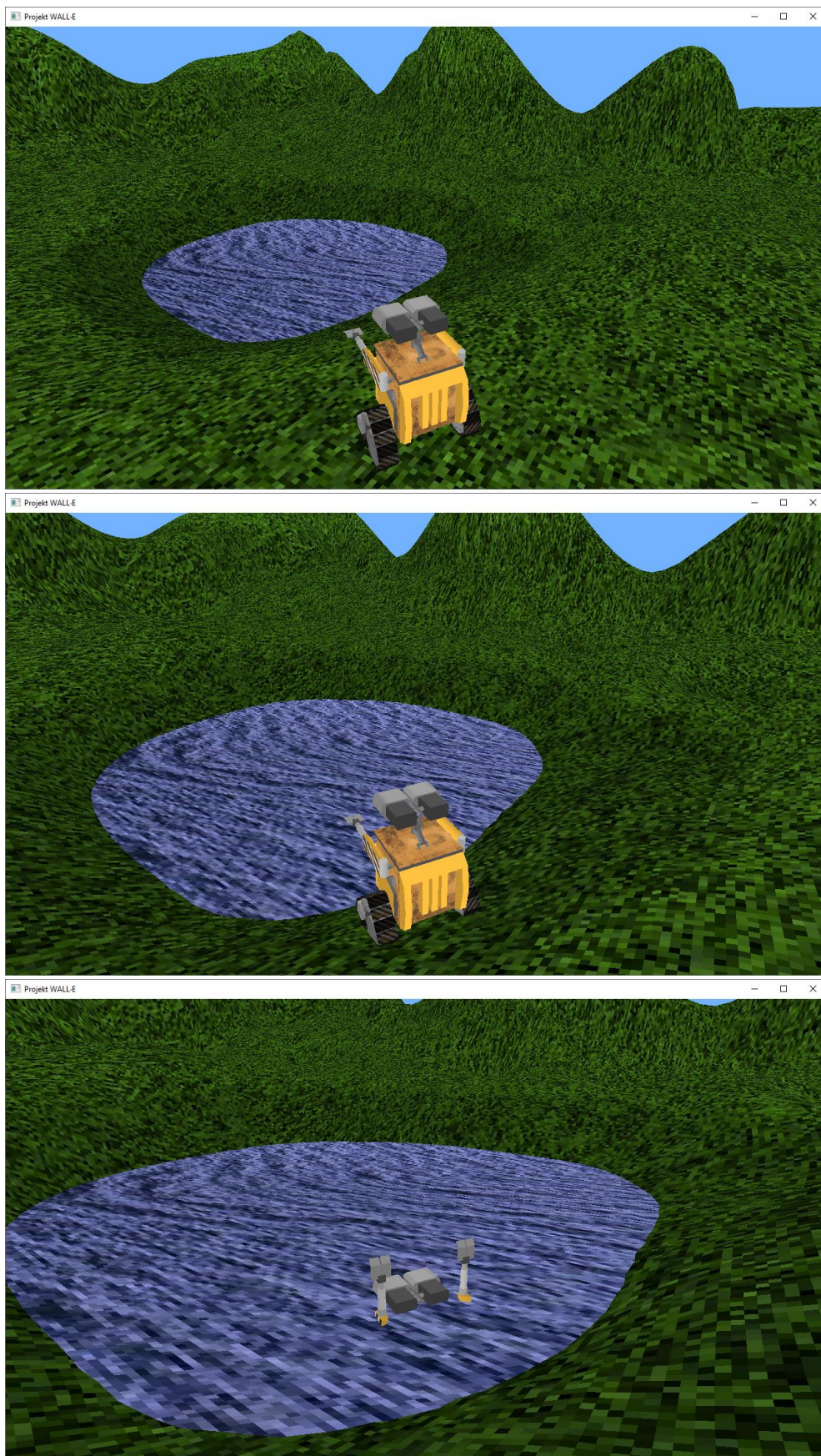
int w, h;
stbi_uc* mapa = stbi_load("mapapg.png", &w, &h, NULL, 1);
stbi_uc* mapalg = stbi_load("mapalg.png", &w, &h, NULL, 1);
stbi_uc* mapald = stbi_load("mapald.png", &w, &h, NULL, 1);
stbi_uc* mapapd = stbi_load("mapapd.png", &w, &h, NULL, 1);

for (int i = 0; i < 500; i++)
{
    for (int j = 0; j < 500; j++)
        wys1[i][j] = mapalg[w * i + j] - 80.0f ;
}
for (int i = 0; i < 500; i++)
{
    for (int j = 0; j < 500; j++)
        wys2[i][j] = mapa[w * i + j] - 80.0f;
}
for (int i = 0; i < 500; i++)
{
    for (int j = 0; j < 500; j++)
        wys3[i][j] = mapald[w * i + j] - 80.0f;
}
for (int i = 0; i < 500; i++)
{
    for (int j = 0; j < 500; j++)
        wys4[i][j] = mapapd[w * i + j] - 80.0f;
}

if (Xpos < 0 && Zpos < 0)
    Ypos = wys1[(int)-Xpos][(int)-Zpos];
else
    if (Xpos > 0 && Zpos < 0)
        Ypos = wys2[(int)Xpos][(int)-Zpos];
else
    if (Xpos < 0 && Zpos > 0)
        Ypos = wys3[(int)-Xpos][(int)Zpos];
else
    if (Xpos > 0 && Zpos > 0)
        Ypos = wys4[(int)Xpos][(int)Zpos];

```

Cztery tablice dwuwymiarowe są wypełniane wartościami opisującymi kolor poszczególnych pikseli zdjęć map wysokości. Położenie łazika w pionie określone jest w zależności od jego pozycji w osiach X i Z.



Rysunek 17. Ruch łoża po nierównym podłożu

6. Wykrywanie kolizji

W celu usunięcia przenikania łożnika przez obiekty otoczenia zaimplementowaliśmy prostą detekcję kolizji.

```
float odleglosc(float aX, float bX, float aZ, float bZ)
{
    return sqrt(pow((aX-bX),2)+pow(aZ-bZ,2));
}

bool kolizja(float zmianaX, float zmianaZ)
{
    if (Xpos > 0 && Zpos < 0)
    {
        if (odleglosc(Xpos + zmianaX, 260, Zpos + zmianaZ, -300) < (5 * sqrt(2) + 75))
            return true;
    }
    if (Xpos < 0 && Zpos > 0)
    {
        if (odleglosc(Xpos + zmianaX, -150, Zpos + zmianaZ, 150) < (5 * sqrt(2) + 12))
            return true;
    }
    if (odleglosc(Xpos + zmianaX, 0, Zpos + zmianaZ, -100) < (5*sqrt(2) + 10))
        return true;

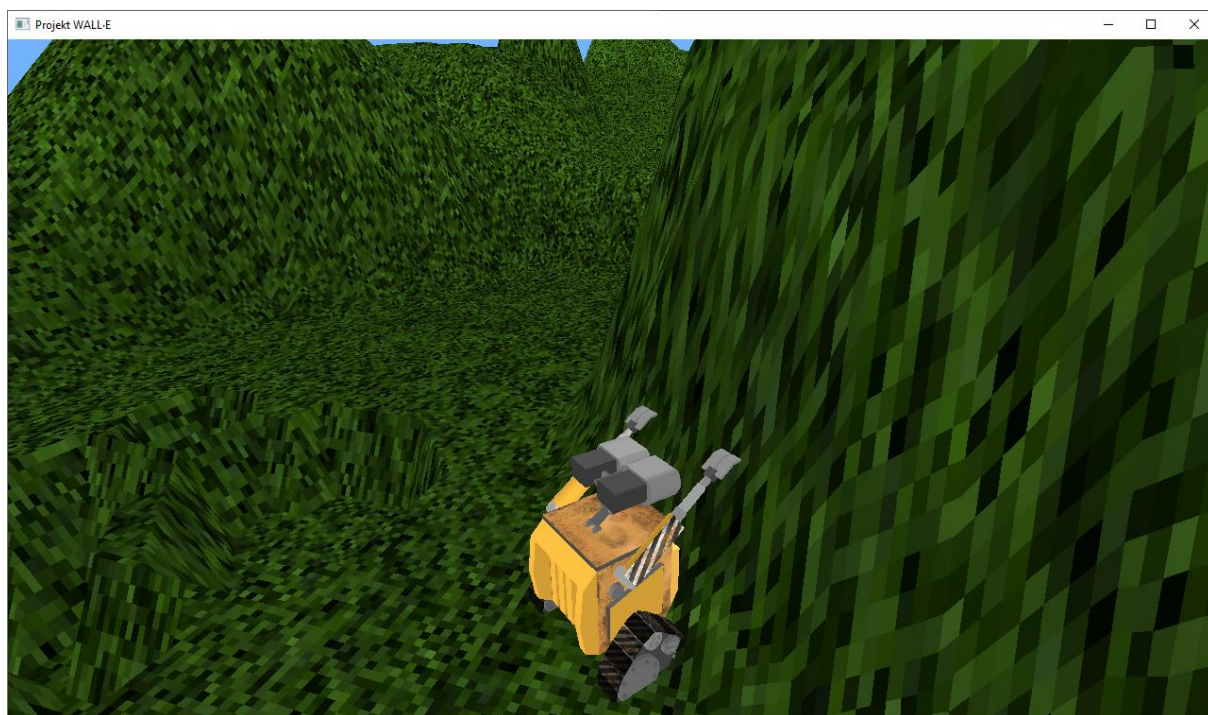
    return false;
}
```

Promień obszaru kolizyjnego łożnika został przybliżony do okręgu opisanego na kwadracie o rozmiarach łożnika. Podczas ruchu sprawdzane jest, czy po przesunięciu łożnika na nową pozycję odległość środków obiektów byłaby mniejsza od sumy ich promieni. Wykrywanie kolizji podzielono tak, aby odległości obiektów były sprawdzane wtedy, kiedy są w tej samej ćwiartce układu współrzędnych.

```
if (keys[VK_NUMPAD8])
{
    if(pochylenie <1)
        pochylenie += 0.125f;
    if (predkosc < 1.3)
        predkosc += 0.1;
    obrotSrubek += predkosc * 10;
    if (!kolizja(-predkosc * sin(kat * GL_PI / 180.0f), -predkosc * cos(kat * GL_PI / 180.0f)))
    {
        Xpos += -predkosc * sin(kat * GL_PI / 180.0f);
        Zpos += -predkosc * cos(kat * GL_PI / 180.0f);
    }
    kolorGasienicy += 0.2f;
    if (kolorGasienicy > 0.2f)
        kolorGasienicy = 0.0f;
}
```




Rysunek 18. Łazik zatrzymuje się w miejscu po zderzeniu z drzewem



Rysunek 19. Obszar kolizyjny wokół pagórka zapobiega wspinanie się łazika po zbyt stromych powierzchniach

7. Fabuła gry

Ten etap projektu poświęciliśmy na rozbudowę interakcji z łazikiem oraz otoczeniem. Dodaliśmy kilka funkcjonalności inspirowanych łazikiem, którego staraliśmy się odwzorować.



Rysunek 20. Obrót oczu łazika



Rysunek 21. Poruszanie ramionami łazika



Rysunek 22. Otwieranie przedniej kłapy łazika



Rysunek 23. Rozglądanie się łożnika zrealizowane za pomocą funkcji SetTimer

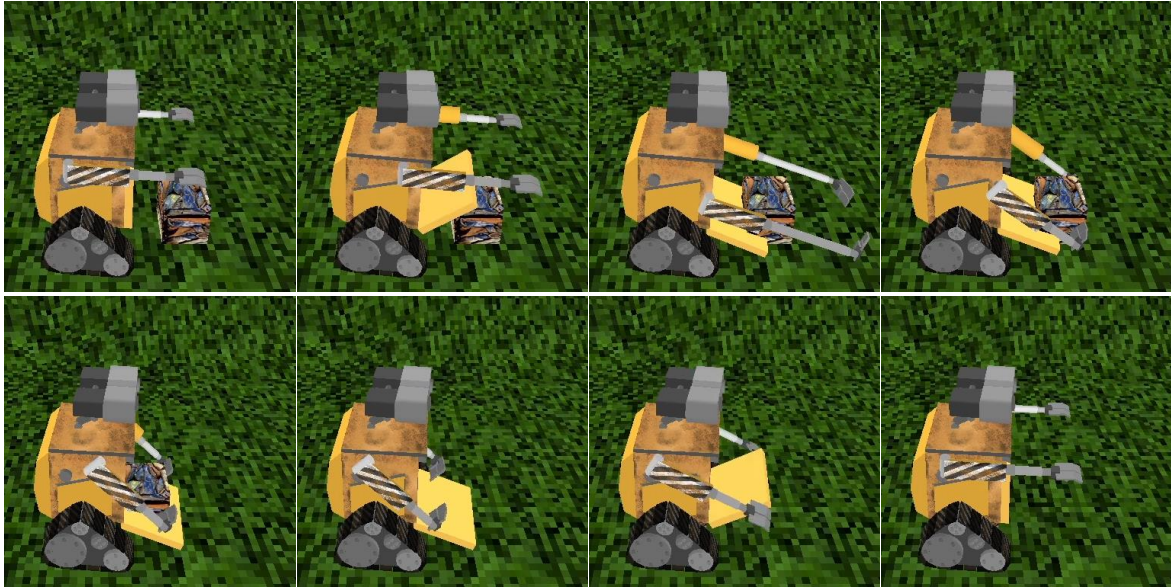
```

if (keys[0x4F])//O opusc klape
{
    if(obr>-110)
        obr -= 3;
}
if (keys[0x50])//P podnies klape
{
    if(obr<0)
        obr += 3;
}
if (keys[0x4B])//K opusc oczka
{
    if (oko1 > 0)
        oko1 -= 1;
}
if (keys[0x4C])//L podnies oczka
{
    if (oko1 < 13)
        oko1 += 1;
}
if (keys[0x52])//R wydłuż ramie
{
    if (przedłużenie < 7)
        przedłużenie += 0.5;
    if (dlonObr < 90)
        dlonObr += 10;
    if (dlonObr2 < 75)
        dlonObr2 += 5;
}
if (keys[0x54])//T skroc ramie
{
    if (przedłużenie > 0)
        przedłużenie -= 0.5;
    if (dlonObr > 0)
        dlonObr -= 10;
    if (dlonObr2 > 0)
        dlonObr2 -= 5;
}

if (keys[0x46])//F ramie w dol
{
    if (ramieZ < 5.75)
    {
        ramieZ += 0.25;
    }
    else
    {
        if (ramieY < 5.75)
        {
            ramieY += 0.25;
        }
    }
}
if (keys[0x47])//G ramie w gore
{
    if (ramieY > 0)
    {
        ramieY -= 0.25;
    }
    else
    {
        if (ramieZ > 0)
        {
            ramieZ -= 0.25;
        }
    }
}
if (keys[0x43])//C podnies ramie
{
    if(katRamion < 90)
        katRamion += 2.5;
}
if (keys[0x56])//V opusc ramie
{
    if (katRamion > -25)
        katRamion -= 2.5;
}

```

Połączenie nowo dodanych funkcjonalności poruszania indywidualnymi częściami łożnika pozwoliło na zbudowanie skomplikowanej animacji podnoszenia obiektów z podłoża i chowania ich wewnątrz łożnika.



Rysunek 24. Animacja wciągania kostki złomu do łożika

Animacja wykonuje się po wciśnięciu klawisza X dzięki funkcji SetTimer. Kostka jest przesuwana na środek łożika po wykonaniu wszystkich kroków animacji.

```

if (keys[0x58])//X podnies
{
    podnoszenie = 1;
}

case 3:
{
    if (podnoszenie)
    {
        if (kroki < 25)
        {
            if (obr > -110)
            {
                obr -= 3;
            }
            if (ramieZ < 5.75)
            {
                ramieZ += 0.25;
                if (pochylenie > -5)
                {
                    pochylenie -= 0.2;
                }
            }
            kroki++;
        }
        if (kroki >= 25 && kroki < 50)
        {
            if (obr > -110)
            {
                obr -= 3;
            }
            if (ramieY < 5.75)
            {
                ramieY += 0.25;
            }
            if (katRamion > -25)
            {
                katRamion -= 1;
            }
            if (przedluzenie < 7)
            {
                przedluzenie += 0.5;
            }
            if (dlonObr < 90)
            {
                dlonObr += 10;
            }
            if (dlonObr2 < 75)
            {
                dlonObr2 += 3.5;
            }
            kroki++;
        }
        if (kroki >= 50 && kroki < 100)
        {
            if (pochylenie < 0)
            {
                pochylenie += 0.2;
            }
            if (przedluzenie > 0)
            {
                przedluzenie -= 0.5;
            }
            if (katRamion > -45)
            {
                katRamion -= 1;
            }
            if (ramieY > 0)
            {
                ramieY -= 0.25;
            }
        }
        else
        {
            if (ramieZ > 0)
            {
                ramieZ -= 0.25;
                if (ramieZ < 4)
                {
                    wpychanie = 1;
                }
            }
            kroki++;
        }
        if (kroki >= 100 && kroki < 110)
        {
            wpychanie = 0;
            /*if (dlonObr > 0)
            {
                dlonObr -= 10;*/
            if (dlonObr2 > 0)
            {
                dlonObr2 -= 10;
            }
            if (obr < 0)
            {
                obr += 3;
            }
            kroki++;
        }
        if (kroki >= 110 && kroki < 150)
        {
            if (dlonObr > 0)
            {
                dlonObr -= 10;
            }
            if (obr < 0)
            {
                obr += 3;
            }
            if (katRamion < 0)
            {
                katRamion += 2.5;
            }
            kroki++;
        }
        if (kroki == 150)
        {
            kroki = 0;
            podnoszenie = 0;
            nies = 1;
        }
    }
}

glPushMatrix();
if (nies)
{
    catX = Xpos;
    catY = Ypos+5;
    catZ = Zpos;
}
else
{
    if (wpychanie)
    {
        if (abs(Xpos - catX) > 0)
        {
            if (Xpos > catX)
            {
                catX++;
            }
            else
            {
                catX--;
            }
        }
        if (abs(Zpos - catZ) > 0)
        {
            if (Zpos > catZ)
            {
                catZ++;
            }
            else
            {
                catZ--;
            }
        }
        if (catY < 5)
        {
            catY++;
        }
    }
}

```



Rysunek 25. Łazik przewożący kostkę

Po podniesieniu obiektu łazik może go wystrzelić. W celu dodania realizmu kostka opada podczas lotu. W realizacji tej funkcjonalności przydatne były wcześniej stworzone mapy wysokości pozwalające na kolizję kostki z podłożem.

```

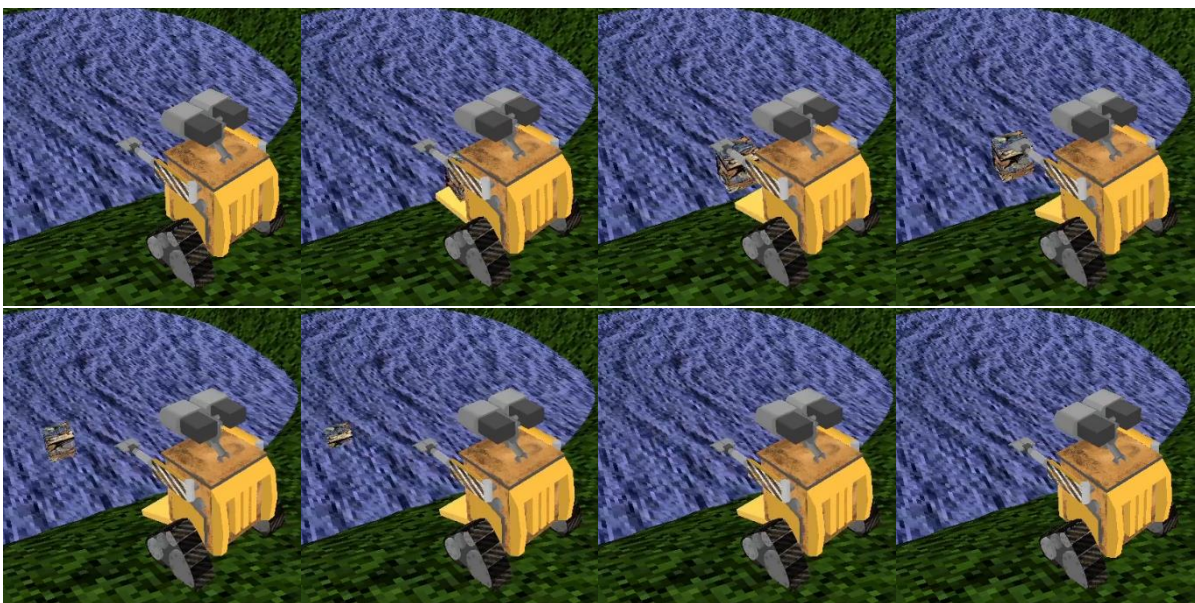
if (keys[0x42]) // B opusc
{
    if (nies)
    {
        opuszczanie = 1;
        opad = 0.45;
    }
}

if (opuszczanie)
{
    if (kroki < 25)
    {
        if (obr > -110)
            obr -= 3;
        if (pochylenie > -5)
            pochylenie -= 0.2;
        kroki++;
    }
    if (kroki >= 25 && kroki < 70)
    {
        nies = 0;
        if (obr > -110)
            obr -= 3;
        catX += -(2+predkosc) * sin(kat * GL_PI / 180.0f);
        catZ += -(2+predkosc) * cos(kat * GL_PI / 180.0f);
        kroki++;
        opad += 0.015;
    }
    if (kroki >= 70 && kroki < 125)
    {
        if (obr < 0)
            obr += 3;
        kroki++;
    }
    if (kroki == 125)
    {
        opuszczanie = 0;
        kroki = 0;
    }
}
if (catV > minCatV)
    catV -= opad;

if (catX < 0 && catZ < 0)
    minCatV = wys1[(int)-catX][(int)-catZ];
else if (catX > 0 && catZ < 0)
    minCatV = wys2[(int)catX][(int)-catZ];
else if (Xpos < 0 && Zpos > 0)
    minCatV = wys3[(int)-catX][(int)catZ];
else if (Xpos > 0 && Zpos > 0)
    minCatV = wys4[(int)catX][(int)catZ];

glTranslatef(catX, catV, catZ);
if (nies)
    glRotatef(kat, 0, 1, 0);
glScalef(0.018, 0.018, 0.018);

```



Rysunek 26. Łazik wystrzeliwujący kostkę